

## نخستین گزارش از *Ramichloridium punctatum* در خاورمیانه و جنس *Ramichloridium* در ایران

دریافت: ۱۴۰۲/۰۳/۳۱ / پذیرش: ۱۴۰۲/۱۱/۱۵

**مونس بخشی**: استادیار پژوهش بخش تحقیقات رستنی‌ها، مؤسسه تحقیقات گیاه‌پزشکی کشور، سازمان تحقیقات، آموزش و ترویج کشاورزی، تهران، ایران (mounesbakhshi@gmail.com)

**مهدی ارزانلو**: استاد گروه گیاه‌پزشکی، دانشکده کشاورزی، دانشگاه تبریز، تبریز، ایران

### چکیده

طی شناسایی قارچ‌های همراه با عالیم لکه برگی گیاهان مختلف در شمال کشور، جدایه‌ای از جنس *Ramichloridium* از لوبيای درختی چهارپر در استان گیلان به دست آمد. شناسایی این قارچ براساس ترکیب ویژگی‌های ریخت‌شناختی و داده‌های مولکولی با استفاده از توالی‌یابی سه ناحیه ژنومی ITS، LSU و *tef1* انجام گرفت. نتایج نشان داد، جدایه حاضر گونه‌ای از جنس *Ramichloridium* تحت عنوان *R. punctatum* می‌باشد. این مطالعه، نخستین گزارش از *Dissocoeniaceae* و جنس *Ramichloridium* برای ایران و نخستین گزارش از گونه *R. punctatum* در خاورمیانه می‌باشد. به علاوه، گیاه *S. punicea* به عنوان میزبان جدیدی برای گونه *R. punctatum* در دنیا معرفی می‌شود.

**واژه‌های کلیدی:** آرایه‌بندی، بقولات، فیلوژنی، هیفومیست، *Dissocoeniaceae*

### First report of *Ramichloridium punctatum* in the Middle East and the first record of the genus *Ramichloridium* for Iran

Received: 04.04.2023 / Accepted: 21.06.2023

**Mounes Bakhshi**: Research Assistant Prof., Department of Botany, Iranian Research Institute of Plant Protection, Agricultural Research, Education and Extension Organization (AREEO), Tehran, Iran (mounesbakhshi@gmail.com)

**Mahdi Arzanlou**: Prof., Department of Plant Protection, Faculty of Agriculture, University of Tabriz, Tabriz, Iran

### Summary

*Ramichloridium* is a genus of dematiaceous hyphomycetes which belongs to the family *Dissocoeniaceae* in the order *Mycosphaerellales*. In a survey of fungi associated with leaf spot symptoms of various plants in the north of Iran, an isolate of the genus *Ramichloridium* was recovered from leaves of *Sesbania punicea* (Cav.) Benth. Integration of morphological characteristics and sequence data obtained from the LSU, ITS and *tef1* loci were applied to identify this isolate. The results revealed that the isolate belongs to a species of the genus *Ramichloridium*, namely, *R. punctatum*. This is the first report of *Dissocoeniaceae* and genus *Ramichloridium* for fungi of Iran and first record of the species *R. punctatum* for fungi of the Middle East region. In addition, *S. punicea* represents first host record for the *R. punctatum* in the world.

**Keywords:** *Dissocoeniaceae*, *Fabaceae*, hyphomycetes, phylogeny, taxonomy

مقدمة

در محیط‌کشت یافته است (Arzanlou *et al.* 2007). بسیاری از گونه‌های *Ramichloridium* بیشتر باعث بیماری sooty blotch and flyspeck (disease: SBFS) که روی لایه موسمی اپی کوتیکول لکه ایجاد می‌کنند، به عنوان بیمارگرهای گیاهی و مهم اقتصادی شناخته می‌شوند (Li *et al.* 2012, Wang *et al.* 2014). گونه‌های *R. luteum* G.Y. Sun, H.Y. Li & Crous, *R. apiculatum* R. mali (G.Y. Sun, Z. Zhang & Rong Zhang) G.Y. Sun, H.Y. Li & Crous (Li *et al.* 2012, Wang *et al.* 2014) به عنوان عوامل بیماری لکه‌دوهای و فضله مگسی ریاضی تیره گل سرخ در چین (R. cucurbitae Mayfield, و گونه‌های R. punctatum Mayfield, Batzer & Crous, Batzer & Crous به عنوان عوامل بیماری لکه‌دوهای و فضله مگسی روی کدو (Cucurbita maxima Duchesne) در آمریکا شناخته شده‌اند (R. cladoniicola U. Braun & Heuchert (دو گونه Li *et al.* 2012) به عنوان R. tropicum U. Braun & Diederich گونه‌های گلسنگرزی در این جنس معرفی شده‌اند (Braun *et al.* 2009). گونه R. endophyticum H. (Diederich *et al.* 2017) نیز به عنوان Zheng, Z.F. Yu, Castañeda-Ruiz & M. Qiao قارچ اندوفیت از Potamogeton pectinatus L. معرفی شده است (Zheng *et al.* 2020).

لوبیای درختی چهارپر با نام علمی *Sesbania punicea* (Cav.) Benth. گیاهی درختچه‌ای با ارتفاع ۲-۴ متر متعلق به تیره بقولات است که با توجه به دارا بودن گل‌های نارنجی رنگ و زیبا می‌تواند به عنوان گیاه زینتی مورد استفاده قرار گیرد (Grzeča *et al.* 2021). طی مطالعه هیفومنیستهای همراه با برگ‌های گیاهان مختلف در استان گیلان، جدایه‌ای از جنس *Ramichloridium* از برگ گیاه مذکور، جداسازی و با استفاده از خصوصیات ریخت‌شناختی و مولکولی مورد شناسایی قرار گرفت.

روش بررسی

## - نمونه برداری، جداسازی و ریخت‌شناسی

طی جمع‌آوری، جداسازی و مطالعه هیفوپیست‌های همراه با برگ‌های گیاهان مختلف در استان گیلان، نمونه‌ای از لوبیای درختی چهارپر با علایم لکه‌برگی، از شهرستان سیاهکل (استان گیلان) در مرداد ۱۳۹۷ جمع‌آوری و به آزمایشگاه بخش تحقیقات رستنی‌های مؤسسه تحقیقات گیاه‌پزشکی کشور منتقل شد. لکه‌برگی‌ها به کمک استریومیکروسکوپ مورد بررسی قرار گرفتند و کشت تک‌های مطابق روش بخشی و همکاران (Bakhshi *et al.* 2021) به شد. کشت زنده این قارچ در

گروه قارچ‌های هیفومیست متعلق به جنس *Ramichloridium* Stahel ex de Hoog (Dissocionaceae) است (Arzanlou et al. 2007, Li et al. 2012, Abdollahzadeh et al. 2020). این جنس ابتدا در سال ۱۹۳۷ توسط استهله (Stahel) براساس گونه *R. musae* Stahel به عنوان گونه تیپ معرفی شد. با این حال، با توجه به نبود توصیف لاتین، این جنس نامعتبر اعلام شد. سپس دهخ در سال ۱۹۷۷ (de Hoog 1977) این جنس را *R. apiculatum* (J.H. Mill., Giddens & A.A. Foster) را به عنوان گونه تیپ جدید معرفی نمود. مطابق توصیف دهخ، جنس *Ramichloridium* آرایه‌هایی با کنیدیومبرهای تیره کمرنگ، کم و بیش متمایز و برافراشته، معمولاً غیرمنشعب، یاخته‌های کنیدیوم‌زای با گسترش هم‌پایه (سیمپودیال)، دارای ساقه‌های کوتاه (rachis) در راس و کنیدیوم‌های غالباً بدون بند را شامل می‌شد. ارزنلو و همکاران در سال ۲۰۰۷، آرایه‌بندی جنس *Ramichloridium* را براساس تلفیق داده‌های مولکولی و ریخت‌شناختی بازنگری کردند. در این بازنگری، گونه تیپ جنس (*R. apiculatum*) در (Mycosphaerellales, Dothideomycetes) Dissocionaceae قرار گرفت که به این ترتیب، سایر گونه‌های این جنس در رده‌های قارچی متنوع در شاخه آسکومیکوتا قرار گرفتند. بر این اساس، جنس *Ramichloridium* به گونه تیپ جنس و دیگر گونه‌های این جنس که در راسته Mycosphaerellales قرار می‌گرفتند، محدود و بقیه گونه‌ها در جنس‌های جدید قارچی توصیف شدند. در بررسی‌های بعدی مشخص شد جنس *Ramichloridium* در راسته Mycosphaerellales نیز چندنیایی است و برخی گونه‌های این جنس در جنس‌های جدید در این راسته شامل جنس‌های *Globoramichloridium* Y. Marín & Pseudoramichloridium Cheew. & Crous و *Pachyramichloridium* Videira & Crous Cheewangkoon et al. 2009، (Zasmidium Fr.) توصیف شدند.

گونه‌های جنس *Ramichloridium* از سبک‌های زندگی متنوعی از قبیل بیمارگر گیاهی، ساپروفیت، اندوφیت و گلگشنگزی برخوردارند (Arzanlou *et al.* 2007, Braun *et al.* 2009, Li *et al.* 2012, Crous *et al.* 2014, Zheng *et al.* 2020). گونه تیپ این جنس، *Ramichloridium apiculatum* (2020) در اصل از مواد به شدت تخریب شده خاک و به عنوان آلودگی

استخراج شد. آغازگرهای LR0R (Rehner & Samuels 1994) و LR5 (Vilgalys & Hester 1990) برای تکثیر V9G بخشی از ناحیه LSU و آغازگرهای ITS4 (de Hoog & Gerrits van den Ende 1998) ITS (White *et al.* 1990) برای تکثیر بخشی از ناحیه ITS به کار رفتند. بخشی از ژن عامل تداوم ترجمه (*tef1*) با استفاده از آغازگرهای EF1-728F و EF1-986R (Carbone 1999) و برنامه تکثیر برای دو ناحیه ژنومی ITS (PCR) طبق روش بخشی و براون (Bakhshi & Braun 2022) برای ناحیه ژنومی *tef1* طبق روش بخشی و ارزنلو (Bakhshi 2017 & Arzanlou 2017) انجام شد. واکنش توالی یابی با استفاده از آغازگرهای مورد استفاده برای تکثیر ژن‌ها از طریق ارسال به شرکت توالی یابی Microsynth سوییس انجام گرفت. پس از دریافت توالی‌ها و ویرایش آن‌ها با استفاده از نرم‌افزار Tamura *et al.* 2013 MEGA Ver. 6 (Katoh *et al.* 2019)، توالی‌ها با گونه‌های موجود در بانک ژن با استفاده از ابزار جستجوی BLAST (NCBI) مورد مقایسه قرار گرفتند. توالی‌های حاصل از این تحقیق به همراه توالی‌های مربوط به تمامی استفاده از نرم‌افزار برخط 7 MAFFT (Maddison 2011 & Mesquite Ver. 3.61) (Maddison 2004) متصل شدند. بهترین مدل جایگزینی Mr Modeltest (Ronquist *et al.* 2012) با استفاده از نرم‌افزار Mr Bayes Ver. 3.2.6 (Nylander 2004) تعیین و تبارنمای چندزئی بر مبنای استنتاج بیزین (Bayesian) با استفاده از نرم‌افزار NCBI (www.ncbi.nlm.nih.gov) ارسال و شماره‌های دسترسی برای آن‌ها دریافت گردید (جدول ۱).

كلکسیون ملی قارچ‌های زنده ایران واقع در مؤسسه مذکور نگهداری می‌شود. برای بررسی ویژگی‌های میکروسکوپی، خصوصیات ریخت‌شناختی قارچ روی محیط کشت نوترینت ضعیف SNA; Synthetic Nutrient-poor Agar; Crous *et al.* 2009 درجه سلسیوس در تاریکی، به مدت ۷-۱۵ روز، مورد مطالعه قرار گرفت. برای تهیه اسلامیدهای میکروسکوپی، ساختارهای قارچی به کمک استریوومیکروسکوپ با استفاده از یک سوزن طریف از سطح محیط کشت برداشته و روی لام حاوی اسید لاکتیک قرار داده و یا از روش نوارچسب (Bensch *et al.* 2012) استفاده گردید. اندازه، رنگ و شکل ساختارهای قارچ از قبیل دسته‌های کنیدیوم بر، یاخته‌های کنیدیوم‌زا، محل‌های کنیدیوم‌زا و کنیدیوم‌ها با استفاده از میکروسکوپ نوری المپوس مدل BX 51 در بزرگنمایی ۱۰۰۰× ثبت شد. برای هر ساختار، ۳۰ نمونه اندازه‌گیری و درجه اطمینان ۹۵٪ برای اندازه‌ها و نیز کمینه و بیشینه اندازه‌ها داخل پرانتز ثبت شد. تصاویر میکروسکوپی به کمک دوربین دیجیتال المپوس مدل DP 25 متصل به میکروسکوپ مذکور (Olympus-BX 51) تهیه شد. تصاویر تهیه شده با استفاده از نرم‌افزار فتوشاپ نسخه CS5 ویرایش و فتوپلیت تهیه گردید. ویژگی‌های پرگنه و نرخ رشد قارچ روی تشکه‌های پتری شش سانتی‌متری حاوی محیط کشت عصاره مالت-آگار (MEA; Malt Extract Agar) بعد از نگهداری در اتفاقک رشد با دمای ۲۵ درجه سلسیوس در تاریکی، به مدت ۱۵ روز، در دو تکرار مورد بررسی قرار گرفت.

#### - شناسایی مولکولی

برای شناسایی مولکولی، DNA ژنومی جدایه خالص شده، پس از رشد روی محیط کشت MEA، به مدت ۱۵ روز در اتفاقک رشد با دمای ۲۵ درجه سلسیوس (Möller *et al.* 1992) در تاریکی طبق روش مولر و همکاران

## جدول ۱- آرایه‌های استفاده شده در ترسیم تبارنما و رس‌شمارهای بانک ژن آن‌ها (توالی‌های تحقیق حاضر پرنگ نمایش داده شده‌اند).

**Table 1.** Taxa used in the phylogenetic analyses and Genbank accession numbers (Newly generated sequences are shown in bold.)

| Taxa                                     | Previous <i>Ramichloridium</i> name (if different) | Isolate               | GenBank accession No. |                      |                      | Reference   |
|--|--|-----------------------|-----------------------|----------------------|----------------------|---|
|  |  |                       | LSU                   | ITS                  | <i>tef1</i>          |   |
| <i>Globoramichloridium indicum</i>       | <i>R. indicum</i>                                  | CBS 171.96<br>(T)     | EU041<br>856          | EU041<br>799         | –                    | Arzanlou <i>et al.</i> 2007, Marin-Felix <i>et al.</i> 2019 |
| <i>Myrmecridium flexuosum</i>            | <i>R. schulzeri</i> var. <i>flexuosum</i>          | CBS 398.76<br>(T)     | EU041<br>825          | EU041<br>768         | –                    | Arzanlou <i>et al.</i> 2007                                 |
| <i>M. schulzeri</i>                      | <i>R. schulzeri</i>                                | CBS 100.54            | EU041<br>826          | EU041<br>769         | –                    | Arzanlou <i>et al.</i> 2007                                 |
| <i>Pachyramichloridium pini</i>          | <i>R. pini</i>                                     | CBS 461.82<br>(T)     | EU041<br>859          | EU041<br>802         | –                    | Arzanlou <i>et al.</i> 2007, Videira <i>et al.</i> 2017     |
| <i>Pleurothecium obovoideum</i>          | <i>R. obovoideum</i>                               | CBS 209.95<br>(T)     | EU041<br>841          | EU041<br>784         | –                    | Arzanlou <i>et al.</i> 2007                                 |
| <i>Pseudoramichloridium brasiliianum</i> | <i>R. brasiliianum</i>                             | CBS 283.92<br>(T)     | EU041<br>854          | EU041<br>797         | –                    | Arzanlou <i>et al.</i> 2007                                 |
| <i>Radulidium epichloës</i>              | <i>R. epichloës</i>                                | CBS 361.63<br>(T)     | EU041<br>842          | EU041<br>785         | –                    | Arzanlou <i>et al.</i> 2007                                 |
| <i>Rad. subulatum</i>                    | <i>R. subulatum</i>                                | CBS 405.76<br>(T)     | EU041<br>845          | EU041<br>788         | –                    | Arzanlou <i>et al.</i> 2007                                 |
| <i>Ramichloridium apiculatum</i>         | –  | CBS 156.59<br>(T)     | EU041<br>848          | EU041<br>791         | –                    | Arzanlou <i>et al.</i> 2007                                 |
| <i>R. bicellularipes</i>                 | –  | CBS 122096<br>(T)     | EU559<br>604          | –                    | –                    | Kirschner & Chen 2010                                       |
| <i>R. cucurbitae</i>                     | –  | CBS 132087<br>(T)     | JQ6220<br>95          | JQ6220<br>87         | JQ6221<br>12         | Li <i>et al.</i> 2012                                       |
| <i>R. endophyticum</i>                   | –  | YMF<br>1.05584 (T)    | MK836<br>098          | MK836<br>099         | MN307<br>070         | Zheng <i>et al.</i> 2020                                    |
| <i>R. eucleae</i>                        | –  | CBS 138000<br>(T)     | KJ8692<br>12          | KJ8691<br>55         | –                    | Crous <i>et al.</i> 2014                                    |
| <i>R. luteum</i>                         | –  | CBS 132088<br>(T)     | JQ6220<br>99          | EU329<br>730         | JQ6221<br>16         | Li <i>et al.</i> 2012                                       |
| <i>R. mali</i>                           | –  | LQ73 (T)              | –                     | EF6274<br>52         | –                    | Zhang <i>et al.</i> 2007                                    |
| <i>R. punctatum</i>                      | –  | CBS 132090<br>(T)     | JQ6220<br>94          | JQ6220<br>86         | JQ6221<br>11         | Li <i>et al.</i> 2012                                       |
| <b><i>R. punctatum</i></b>               | –  | <b>IRAN<br/>4789C</b> | <b>OQ625<br/>942</b>  | <b>OQ625<br/>988</b> | <b>OQ632<br/>794</b> | <b>This study</b>   |
| <i>Rhinocladiella anceps</i>             | <i>R. anceps</i>                                   | CBS 181.65<br>(T)     | EU041<br>862          | EU041<br>805         | –                    | Arzanlou <i>et al.</i> 2007                                 |
| <i>Rh. basitona</i>                      | <i>R. basitonum</i>                                | CBS 101460<br>(T)     | EU041<br>863          | EU041<br>806         | EF5515<br>46         | Arzanlou <i>et al.</i> 2007                                 |
| <i>Rh. fasciculata</i>                   | <i>R. fasciculatum</i>                             | CBS 132.86<br>(T)     | EU041<br>864          | EU041<br>807         | –                    | Arzanlou <i>et al.</i> 2007                                 |
| <i>Rh. mackenziei</i>                    | <i>R. mackenziei</i>                               | CBS 367.92            | EU041<br>865          | EU041<br>808         | –                    | Arzanlou <i>et al.</i> 2007                                 |
| <i>Thysanorea papuana</i>                | <i>R. lignicola</i>                                | CBS 212.96<br>(T)     | EU041<br>871          | EU041<br>814         | –                    | Arzanlou <i>et al.</i> 2007                                 |
| <i>Th. papuana</i>                       | –  | GUFCC<br>18020        | KR259<br>882          | KR259<br>881         | –                    | Pratibha & Prabhugaonkar 2015                               |
| <i>Th. papuana</i>                       | –  | MFLUCC<br>15-0966     | MG922<br>576          | MG922<br>572         | –                    | Dong <i>et al.</i> 2018, Wang <i>et al.</i> 2019            |
| <i>Th. papuana</i>                       | –  | MFLUCC<br>17-2315     | MH532<br>969          | MH532<br>972         | –                    | Wang <i>et al.</i> 2019                                     |
| <i>Zasmidium biverticillatum</i>         | <i>R. biverticillatum</i>                          | CBS 335.36            | EU041<br>853          | EU041<br>796         | –                    | Arzanlou <i>et al.</i> 2007                                 |
| <i>Z. cerophilum</i>                     | <i>R. cerophilum</i>                               | CBS 103.59<br>(T)     | EU041<br>855          | EU041<br>798         | –                    | Arzanlou <i>et al.</i> 2007, Videira <i>et al.</i> 2017     |
| <i>Z. ducassei</i>                       | <i>R. ducassei</i>                                 | BRIP 53367<br>(T)     | –                     | HQ149<br>687         | –                    | Shivas <i>et al.</i> 2011                                   |
| <i>Z. ducassei</i>                       | –  | CPC 32929             | MK540<br>041          | MK539<br>971         | MK540<br>167         | Marin-Felix <i>et al.</i> 2019                              |
| <i>Z. musae-banksii</i>                  | <i>R. australiense</i>                             | CBS 121710<br>(T)     | EU041<br>852          | EU041<br>795         | –                    | Arzanlou <i>et al.</i> 2007, Videira <i>et al.</i> 2017     |
| <i>Z. musigenum</i>                      | <i>R. musae</i>                                    | CBS 365.36<br>(T)     | EU041<br>858          | EU041<br>801         | –                    | Arzanlou <i>et al.</i> 2007, Videira <i>et al.</i> 2017     |
| <i>Z. strelitziae</i>                    | <i>R. strelitziae</i>                              | CBS 121711<br>(T)     | EU041<br>860          | EU041<br>803         | –                    | Arzanlou <i>et al.</i> 2007, Videira <i>et al.</i> 2017     |

## نتیجه و بحث

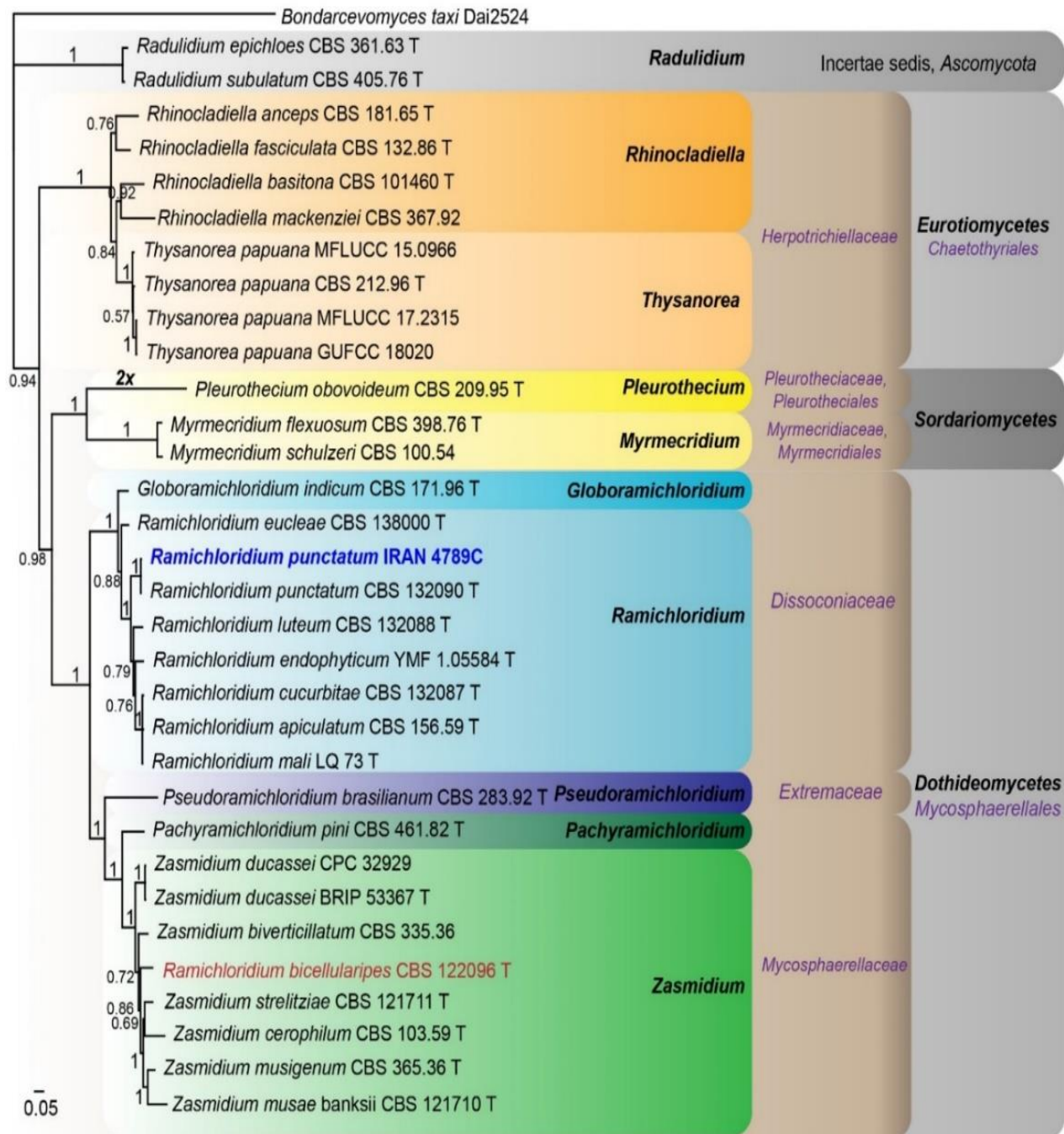
***Ramichloridium punctatum*** Mayfield, Batzer & Crous, Persoonia 28: 122 (2012)  
- توصیف روی محیط‌کشت SNA

میسلیوم شامل ریسه‌های صاف، بی‌رنگ تا قهوه‌ای کمرنگ، بنددار، منشعب، با عرض  $1/5\text{--}2/5$  میکرومتر. کنیدیومبرها برافراشته، به صورت انشعابات جانبی روی ریسه‌های سطحی، مستقیم، بدون انشعاب، نیمه‌استوانه‌ای، با سطح صاف، قهوه‌ای، به سمت انتهای کمرنگ‌تر، دارای  $(5\text{--}13)\text{--}1$  بند عرضی، به ابعاد  $2-2/5 \times 2-2/5 \times 37-64\text{--}96$  میکرومتر. یاخته‌های کنیدیومزا انتهایی، نیمه‌استوانه‌ای، قهوه‌ای کمرنگ، دارای ردیفی از تورم‌های نامنظم زگیل مانند در طول یاخته کنیدیومزا، به ابعاد  $2/5\text{--}3 \times 40\text{--}34 \times 28-34$  میکرومتر، با محل‌های کنیدیومزایی نسبتاً ضخیم، ساقه‌های کوتاه (rachis) با محل‌های کنیدیومزایی نسبتاً ضخیم، تیره و به نسبت برجسته. کنیدیومها منفرد، بی‌رنگ تا قهوه‌ای سیار کمرنگ، با سطح صاف تا نسبتاً زبر، دارای قطره‌های روغنی ریز، بیضوی تا واژتخم‌مرغی، فاقد بند عرضی، با نوک گرد و پایه تخت تا نیمه‌تیز، به ابعاد  $3-4\text{--}5 \times 4-7$  میکرومتر؛ هیلوم مشخص و ۱ میکرومتر (شکل ۲).

- مشخصات پرگنه روی محیط‌کشت MEA

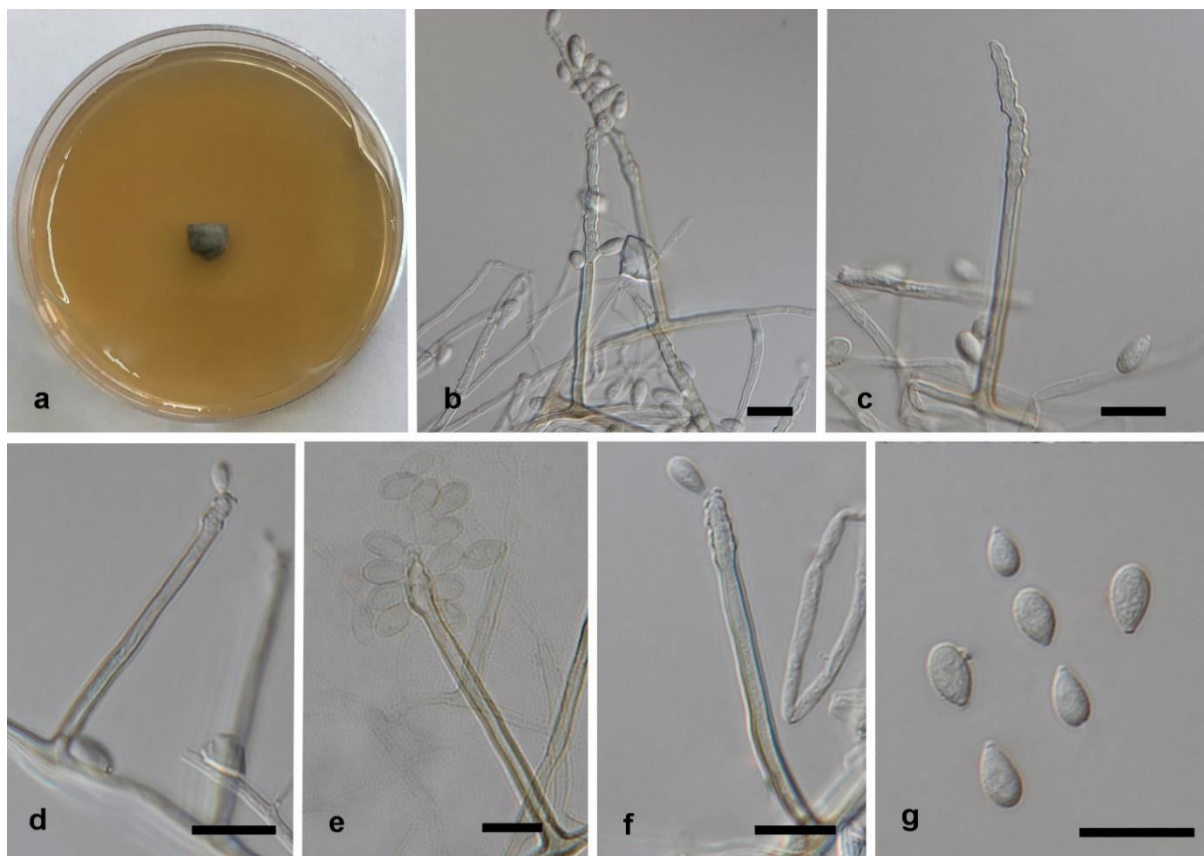
قطر رشد پرگنه‌ها بعد از گذشت ۱۵ روز در دمای ۲۵ درجه سلسیوس در شرایط تاریکی برابر با  $13\text{--}14$  میلی‌متر؛ سطح پرگنه تخت برآمده با کناره‌های نابرابر و لبه‌دار و میسلیوم هوایی کم؛ رنگ پرگنه‌ها خاکستری مایل به زیتونی، از سطح زیرین تشتک پتری به رنگ خاکستری آهی. نمونه بررسی شده: استان گیلان، سیاهکل، "۱۱° ۵۸' N ۳۷° E ۴۹° ۵۵' ۲۰" M، ۹۷/۵/۲۴، مونس بخشی (جدا از چهارپر (*S. punicea*) (IRAN 4789C

برای شناسایی مولکولی جدایه به دست آمده در این پژوهش، تبارنمای با استفاده از سه ناحیه ژنومی LSU، ITS و *tef1* برای تمامی گونه‌های گذشته در این جنس قرار داشتند و داده‌های مولکولی برای آن‌ها موجود است، ترسیم شد. رج‌بندی چندگانه شامل ۳۲ آرایه داخلی (۳۱ آرایه از NCBI و یک جدایه در این *Bondarcevomyces taxi* (Bondartsev) بود و تحقیق) به عنوان آرایه خارجی (Dai2524) برای شناسایی شامل ۲۱۷۱ کاراکتر شامل شکاف‌های رج‌بندی (gap) بود و مرز ژن‌ها به ترتیب ۹۱۱-۱۶۲۸ LSU، ۱-۹۱۰ کاراکتر برای ITS و ۱۶۲۹-۲۱۷۱ کاراکتر برای *tef1* بود. با توجه به نتایج نرم‌افزار تست مدل، مدل HKY با نرخ توزیع گامای معکوس برای نواحی ژنی ITS و LSU و مدل GTR با نرخ توزیع گاما برای ناحیه ژنومی *tef1* استفاده شدند. هر سه ناحیه ژنومی فراوانی dirichlet base داشتند. از بین ۲۱۷۱ کاراکتری که برای استنتاج بیزین استفاده شد، ۱۰۹۳ الگوی مکانی منحصر به فرد وجود داشت که به ترتیب ۴۰۰، ۴۷۴ و ۲۱۹ نوکلئوتید مربوط به نواحی ژنی LSU، ITS و *tef1* بود. تجزیه و تحلیل بیزین منتهی به  $655000\text{--}1312$  نسل و درخت شد. بعد از حذف  $25\%$  اولیه درخت‌های جمع‌آوری شده برای مرحله burn-in، درخت اجمالی و توزیع احتمال پسین خوشها از ۹۸۴ درخت باقی‌مانده محاسبه شد (شکل ۱). براساس نتایج تبارنمای سه ژنی مشخص شد جدایه *Ramichloridium* به دست آمده از لوبيای درختی چهارپر با جدایه تیپ گونه *R. punctatum* (CBS 132090) در یک شاخه قرار گرفت.



شکل ۱- تبارنمای حاصل از استنتاج بیزین (Bayesian) با استفاده از ترکیب توالی سه ناحیه ژنومی ITS، LSU و *tefI* و جنس *Ramichloridium* و آرایه‌های مشابه. این درخت نسبت به گونه *Bondarcevomyces taxi* (Dai2524) ریشه‌یابی شده است.

**Fig. 1.** Consensus phylogram of *Ramichloridium*-like isolates, resulting from a Bayesian analysis of the combined 3-locus (LSU, ITS, and *tefI*) sequence alignment. The tree was rooted to *Bondarcevomyces taxi* (Dai2524).



شکل -۲ a. پرگنه هفت روزه قارچ روی محیط کشت MEA. b-g. کنیدیومبرها، یاخته‌های کنیدیومزا و کنیدیومها (مقیاس = ۱۰ میکرومتر).

**Fig. 2.** *Ramichloridium punctatum*: a. Seven-day-old culture on MEA, b-g. Conidiophores, conidiogenous cells and conidia (Bars = 10  $\mu\text{m}$ ).

تعلق دارند (*Ascomycota, Incerta sedis*) & Crous Arzanlou *et al.* 2007, Cheewangkoon *et al.* 2009, ) Videira *et al.* 2017, Marin-Felix *et al.* 2019, Wang (et al. 2019 و به این جنس‌ها منتقل شده‌اند (شکل ۱ و جدول ۱). از بین ۲۲ گونه باقی‌مانده، داده‌های مولکولی *R. amomi* P.K. Chi & S.Q. Chen برای ۱۴ گونه شامل *R. bambusae* *R. bacillisporum* W.A. Baker & Partr. *R. basifuscatum* Matsush. (Morgan-Jones) de Hoog *R. cladoniicola* *R. carlinae* (M.B. Ellis) de Hoog *R. ellipticum* (A.D. Sharma) *R. clavulisporum* Matsush. *R. matsushima* de Hoog & Munjal) de Hoog *R. parvigelbosum* *R. meliolae* (Hansf.) de Hoog *R. tropicum* *R. torvi* (Ellis & Everh.) de Hoog Matsush. *R. verrucosum* (Geeson) B. Sutton موجود نیست و لذا نیاز است داده‌های مولکولی برای مشخص شدن موقعیت دقیق تبارشناختی آن‌ها در آینده فراهم شود. در حال حاضر، برای هشت گونه شامل

از زمان معرفی جنس *Ramichloridium* ۴۱ نام گونه برای این جنس در پایگاه‌های میکوبانک (Crous *et al.* 2004) و ایندکس فانگاروم (www.mycobank.org) به ثبت رسیده است (تاریخ دسترسی ۱۴۰۲/۰۱/۱۴). با این حال، داده‌های مولکولی نشان داده‌اند که جنس *Ramichloridium* چندنیایی بوده و ۱۹ گونه به جنس‌های دیگر شامل *Globoramichloridium* (Extremaceae), *Pseudoramichloridium* (Dissoconiaceae), *Mycosphaerellaceae*, *Zasmidium* و *Pachyramichloridium* (Mycosphaerellales)، *Dothideomycetes*، راسته *Myrmecridium* Arzanlou, W. Gams & Crous (Myrmecridiaceae, Myrmecridiales) *Pleurothecium* و (Pleurotheciaceae, Pleurotheciales) Höhn. و *Rhinocladiella* Nannf. جنس‌های *Sordariomycetes* *Thysanorea* Arzanlou, W. Gams & Crous (Ertiomycetes) از رده (Herpotrichiellaceae) *Radulidium* Arzanlou, W. Gams و جنس *Chaetothyriales*

(Chi *et al.* 2019). در پژوهش حاضر، این گونه نادر، برای نخستین بار از ایران و نیز خاورمیانه شناسایی می‌شود. همچنانی، گیاه *S. punicea*، برای نخستین بار در دنیا به عنوان میزبان این گونه قارچی معروفی می‌شود. گونه مورد نظر از روی برگ‌های دارای علایم لکه برگی این گیاه جداسازی شد، اما با توجه به این که لکه‌ها هم‌زمان آلوده به گونه‌ای از جنس *Cercospora* نیز بودند، تایید بیماری زا بودن و نقش گونه *R. punctatum* در ایجاد علایم لکه برگی و یا حتی نقش آن به عنوان قارچ قارچ‌زی، مستلزم انجام آزمون بیماری زایی است.

### سپاسگزاری

نگارندگان از سازمان تحقیقات، آموزش و ترویج کشاورزی، مؤسسه تحقیقات گیاه‌پزشکی کشور به خاطر حمایت مالی پژوهش حاضر تشکر می‌نمایند.

*R. bicellaripes* R. Kirschner *R. apiculatum* *R. eucaleae* Crous & *R. endophyticum* *R. cucurbitae* *R. punctatum* و *R. mali* *R. luteum* van der Linde داده‌های مولکولی وجود دارد (جدول ۱). براساس تبارنمای ترسیم شده در این پژوهش، به نظر می‌رسد گونه *Zasmidium* نیز بایستی به جنس *R. bicellaripes* شود (شکل ۱). در حال حاضر، تنها توالی ناحیه LSU جدایه تیپ این گونه (CBS 122096) موجود می‌باشد و برای تصمیم‌گیری قطعی در این زمینه نیاز است توالی نواحی دیگر نیز فراهم شود.

پژوهش حاضر، نخستین گزارش از *Dissocoeniaceae* و جنس *Ramichloridium* از ایران می‌باشد (Bakhshi *et al.* 2022). گونه *R. punctatum* نخستین بار در سال ۲۰۱۲ براساس جدایه تیپ (CBS 132090 = CPC 18974) (Cucurbita maxima) که از سطح میوه کدو (= BHE35b1 Li *et al.* 2012) در آمریکا جداسازی شده بود، معرفی گردید (Acanthus 2012). تنها گزارش دیگر این گونه از برگ‌های *ilicifolius* var. *xiamenensis*

### References

- Abdollahzadeh, J., Groenewald, J.Z., Coetzee, M.P.A., Wingfield, M.J. & Crous, P.W. 2020. Evolution of lifestyles in *Capnodiales*. Studies in Mycology 95(1): 381–414.
- Arzanlou, M., Groenewald, J.Z., Gams, W., Braun, U., Shin, H.D. & Crous, P.W. 2007. Phylogenetic and morphotaxonomic revision of *Ramichloridium* and allied genera. Studies in Mycology 58(1): 157–93.
- Bakhshi, M. & Arzanlou, M. 2017. Multigene phylogeny reveals a new species and novel records and hosts in the genus *Ramularia* from Iran. Mycological Progress 16(7): 703–712.
- Bakhshi, M. & Braun, U. 2022. *Acericerospora hyrcanica* gen. et sp. nov. (Mycosphaerellaceae) and *Paramycocentrospora acericola* gen. et sp. nov. (Dothidotthiaceae) on maple trees in Hyrcanian forests. Mycological Progress 21(8): 1–15.
- Bakhshi, M., Zare, R. & Ershad, D. 2022. A detailed account on the statistics of the fungi and fungus-like taxa of Iran. Mycologia Iranica 9(2): 1–96.
- Bakhshi, M., Zare, R., Jafary, H., Arzanlou, M. & Rabbani-nasab, H. 2021. Phylogeny of three *Ramularia* species occurring on medicinal plants of the Lamiaceae. Mycological Progress 20(1): 27–38.
- Bensch, K., Braun, U., Groenewald, J.Z. & Crous, P.W. 2012. The genus *Cladosporium*. Studies in Mycology 72: 1–401.
- Braun, U., Heuchert, B. & Diederich, P. 2009. Two new and another interesting lichenicolous hyphomycete. Herzogia 22: 165–171.
- Carbone, I. & Kohn, L.M. 1999. A method for designing primer sets for speciation studies in filamentous ascomycetes. Mycologia 91: 553–556.
- Cheewangkoon, R., Groenewald, J.Z., Summerell, B.A., Hyde, K.D., To-anun, C. & Crous, P.W. 2009. Myrtaceae, a cache of fungal biodiversity. Persoonia 23: 55–85.

- Chi, W.C., Chen, W., He, C.C., Guo, S.Y., Cha, H.J., Tsang, L.M., Ho, T.W. & Pang, K.L. 2019. A highly diverse fungal community associated with leaves of the mangrove plant *Acanthus ilicifolius* var. *xiamenensis* revealed by isolation and metabarcoding analyses. *PeerJ* 7: 1–24.
- Crous, P.W., Gams, W., Stalpers, J.A., Robert, V. & Stegehuis, G. 2004. MycoBank: an online initiative to launch mycology into the 21th century. *Studies in Mycology* 50: 19–22.
- Crous, P.W., Shivas, R.G., Quaedvlieg, W.V., Van der Bank, M., Zhang, Y., Summerell, B.A., Guarro, J., Wingfield, M.J., Wood, A.R., Alfenas, A.C. & Braun, U. 2014. Fungal Planet description sheets: 214–280. *Persoonia* 32(1): 184–306.
- Crous, P.W., Verkley, G.J.M., Groenewald, J.Z. & Samson, R.A. 2009. Fungal Biodiversity. CBS Laboratory Manual Series 1: 1–269. Centraalbureau voor Schimmelcultures, Utrecht, Netherlands.
- de Hoog, C.S.D. 1977. *Rhinocladiella* and allied genera. *Studies in Mycology* 15: 93–95.
- de Hoog, G.S.D. & Gerrits, van den Ende A.H.G. 1998. Molecular diagnostics of clinical strains of filamentous Basidiomycetes. *Mycoses* 41: 183–189.
- Diederich, P., Lücking, R., Aptroot, A., Sipman, H.J., Braun, U., Ahti, T. & Ertz, D. 2017. New species and new records of lichens and lichenicolous fungi from the Seychelles. *Herzogia* 30(1): 182–236.
- Dong, W., Hyde, K.D., Bhat, D.J. & Zhang, H. 2018. Introducing *Aculeata aquatica* gen. et sp. nov., *Minimelanolocus thailandensis* sp. nov. and *Thysanorea aquatica* sp. nov. (Herpotrichiellaceae, Chaetothyriales) from freshwater in northern Thailand. *Mycological Progress* 17: 617–629.
- Grzeća, G.T., Winhelmann, M.C., Emer, A.A., Tedesco, M., Lazarotto, M. & Schafer, G. 2021. Biometry and maturation of *Sesbania punicea* (Cav.) Benth. seeds. *Acta Iguazu* 10: 91–100.
- Katoh, K., Rozewicki, J. & Yamada, K.D. 2019. MAFFT online service: multiple sequence alignment, interactive sequence choice and visualization. *Briefings in Bioinformatics* 20(4): 1160–1166.
- Kirschner, R. & Chen, C.J. 2010. Two new species of Ramichloridium-like hyphomycetes from senescent leaves of night-scented lily (*Alocasia odora*) in Taiwan. *Fungal Diversity* 40: 41–50.
- Li, H.Y., Sun, G.Y., Zhai, X.R., Batzer, J.C., Mayfield, D.A., Crous, P.W., Groenewald, J.Z. & Gleason, M.L. 2012. Dissoconiaceae associated with sooty blotch and flyspeck on fruits in China and the United States. *Persoonia* 28(1): 113–125.
- Maddison, W.P. & Maddison, D.R. 2011. Mesquite: a modular system for evolutionary analysis. Version 2.75. <http://mesquiteproject.org>.
- Marin-Felix, Y., Hernández-Restrepo, M., Iturrieta-González, I., García, D., Gené, J., Groenewald, J.Z., Cai, L., Chen, Q., Quaedvlieg, W., Schumacher, R.K. & Taylor, P.W.J. 2019. Genera of phytopathogenic fungi: GOPHY 3. *Studies in Mycology* 94: 1–124.
- Möller, E.M., Bahnweg, G., Sandermann, H. & Geiger, H. 1992. A simple and efficient protocol for isolation of high molecular weight DNA from filamentous fungi, fruit bodies, and infected plant tissues. *Nucleic Acids Research* 20: 6115–6116.
- Nylander, J.A.A. 2004. MrModeltest Ver. 2.0. Program distributed by the author. Evolutionary Biology Centre, Uppsala University, Uppsala, Sweden.
- Pratibha, J. & Prabhugaonkar, A. 2015. New record of *Thysanorea papuana* from India. *Mycosphere* 6: 480–485.
- Rehner, S.A. & Samuels, G.J. 1994. Taxonomy and phylogeny of *Gliocladium* analysed from nuclear large subunit ribosomal DNA sequences. *Mycological Research* 98: 625–634.

- Ronquist, F., Teslenko, M., van der Mark, P., Ayres, D.L., Darling, A., Höhna, S., Larget, B., Liu, L., Suchard, M.A. & Huelsenbeck, J.P. 2012. MrBayes 3.2: efficient Bayesian phylogenetic inference and model choice across a large model space. *Systematic Biology* 61: 539–542.
- Shivas, R.G., Grice, K.R. & Young, A.J. 2011. *Ramichloridium* spp. on *Musa* in northern Queensland: introducing *Ramichloridium ducassei* sp. nov. on leaf streaks of Ducasse banana. *Australasian Plant Pathology* 40(1): 61–65. Doi: 10.1007/s13313-010-0014-x.
- Stahel, G. 1937. The banana leaf speckle in Surinam caused by *Chloridium musae* nov. spec. and another related banana disease. *Tropical Agriculture* 14: 42–44.
- Tamura, K., Stecher, G., Peterson, D., Filipski, A. & Kumar, S. 2013. MEGA6: Molecular Evolutionary Genetics Analysis Ver. 6.0. *Molecular Biology and Evolution* 30(12): 2725–2729.
- Videira, S.I.R., Groenewald, J.Z., Nakashima, C., Braun, U., Barreto, R.W., de Wit, P.J. & Crous, P.W. 2017. Mycosphaerellaceae-chaos or clarity? *Studies in Mycology* 87: 257–421.
- Vilgalys, R., Hester, M. 1990. Rapid genetic identification and mapping of enzymatically amplified ribosomal DNA from several *Cryptococcus* species. *Journal of Bacteriology* 172: 4238–4246.
- Wang, G.N., Yu, X.D., Dong, W., Bhat, D.J., Boonmee, S., Zhang, D. & Zhang, H. 2019. Freshwater hyphomycetes in Eurotiomycetes: a new species of *Minimelanolocus* and a new collection of *Thysanorea papuana* (Herpotrichiellaceae). *Mycological Progress* 18: 511–522.
- Wang, L., Du, Y., Ju, L., Zhao, Y., Zhang, R., Sun, G. & Gleason, M.L. 2014. *Ramichloridium apiculatum*, a new record for China, causing sooty blotch and flyspeck. *Mycotaxon* 127(1): 121–127.
- White, T.J., Bruns, T. & Taylor, J. 1990. Amplification and direct sequencing of fungal ribosomal RNA genes for phylogenetics. Pp. 315–322. In: Innis, M.A., Gelfand, D.H., Sninsky, J.J. & White, J.W. (eds), *A Guide to Molecular Methods and Applications*. Academic Press, New York.
- Zheng, H., Yu, Z., Xu, J., Castaneda-Ruiz, R.F. & Qiao, M. 2020. *Ramichloridium endophyticum* sp. nov., a novel species of endophytic fungus from *Potamogeton pectinatus*. *International Journal of Systematic and Evolutionary Microbiology* 70(5): 3433–3439.